

## مقایسه تبخیر تعرق واقعی حاصل از داده‌های لایسیمتری و الگوریتم SEBAL در دشت کرمان، با استفاده از تصاویر سنجنده MODIS

سعید دلگرم<sup>۱</sup>، مرتضی رحیم‌پور<sup>۲</sup>، بهرام بختیاری<sup>۳</sup>، نسرین سیاری<sup>۴</sup>

۱. دانشجوی کارشناسی ارشد مهندسی منابع آب، دانشکده کشاورزی، بخش مهندسی آب، دانشگاه شهید باهنر، کرمان

۲. دانشجوی کارشناسی ارشد مهندسی منابع آب، بخش مهندسی آب، دانشگاه تربیت مدرس، تهران

۳. استادیار بخش مهندسی آب، دانشگاه شهید باهنر کرمان

۴. استادیار بخش مهندسی آب، دانشگاه شهید باهنر کرمان

(تاریخ دریافت: ۱۳۹۳/۹/۴ - تاریخ تصویب: ۱۳۹۴/۱/۲۲)

### چکیده

در این مقاله، در ایستگاه مورد مطالعه‌ای واقع در مزرعه دانشگاه شهید باهنر کرمان، با عرض جغرافیایی  $30^{\circ}15'_{\text{S}}$  شمالی و طول جغرافیایی  $56^{\circ}58'_{\text{E}}$ ، که به لایسیمتر وزنی الکترونیکی و دستگاه‌های اندازه‌گیری پارامترهای هواشناسی مجهز بود، با استفاده از ۱۵ تصویر منتخب سنجنده MODIS. که مربوط به بهار و تابستان ۱۳۸۶ است، مقدار تبخیر- تعرق واقعی در منطقه مطالعاتی برآورد و نتایج حاصله با داده‌های زمینی حاصل از لایسیمترهای موجود در منطقه مقایسه شد. نتایج قابل قبول RMSE برابر با  $0.62419$  NOF برابر با  $0.09079$  و EF برابر با  $0.87636$  به دست آمد. همچنین، ضریب تبیین  $71\%$  بین داده‌های مشاهداتی و محاسباتی نشان داد که این الگوریتم در برآورد تبخیر- تعرق واقعی دقت بالایی دارد. پس از برآورد پارامترهای دمای سطح زمین، آلبیدو، شاخص‌های پوشش گیاهی، گسیلنگی سطح و تابش خالص با توجه به تفکیک پیکسل لایسیمتر در منطقه، نقشه توزیع مکانی تبخیر- تعرق روزانه در سطح منطقه ترسیم شد.

کلیدواژگان: تبخیر- تعرق واقعی، سنجش از دور، لایسیمتر، MODIS، SEBAL.

### مقدمه

ضریب آلبیدو و شاخص پوشش گیاهی را به صورت منطبق یا سازگار با محیط فراهم کند و همچنین از لحاظ اقتصادی مقرر به صرفه باشد. بنابراین، در سطوح بسیار وسیع، مانند حوضه‌ها، لازم است از روش‌ها و مدل‌های مختلف سنجش از دور استفاده شود. الگوریتم SEBAL<sup>۱</sup> از الگوریتم‌های بیلان انرژی روی سطح است که برای محاسبه شار گرمای نهان بهمنزله باقی‌مانده معادله بیلان انرژی استفاده می‌شود. Bastiaanssen & Menenti (1989) این الگوریتم را نخستین بار برآورد تبخیر از سفره‌های کم‌عمق آب زیرزمینی استفاده کردند. Bastiaanssen & Menenti (2002) این الگوریتم را توسعه دادند و به منظور اعتبارسنجی آن از اندازه‌گیری‌های وسیع میدانی در کشورهای چین، هند، اسپانیا و پاکستان استفاده کردند. نتایج نشان داد که در ۸۵ درصد موارد پارامترهای به دست آمده از سبال با اندازه‌گیری‌های مزرعه‌ای بدون هیچ‌گونه واسنجی مطابقت داشتند. تحقیقات وسیع و گوناگونی در زمینه استفاده از این الگوریتم در زمینه محاسبات میدانی و در موضوعات مختلف در سطح جهان انجام گرفته است. در تحقیقی دیگر، در ایالات

تبخیر- تعرق<sup>۲</sup> یکی از عوامل مهم در چرخه هیدرولوژی و از عوامل تعیین‌کننده معادلات انرژی در سطح زمین و توازن آب است و برآورد آن در زمینه‌های مختلفی نظری هیدرولوژی، کشاورزی، مدیریت جنگل، مرتع و مدیریت منابع آب مورد نیاز است (Sanayinezhad *et al.*, 2011). تخمین میزان تبخیر- تعرق برمبنای روابط تجربی، همواره مورد توجه بوده است. مبنای بیشتر روش‌های ارائه شده بر پایه روابط بین پارامترهای هواشناسی است که کمبود یا نقصان این داده‌ها، استفاده از این روش‌ها را با محدودیت رو به رو می‌کند (Farshi *et al.*, 2011). از طرفی، این اطلاعات، نقطه‌ای و به ایستگاه‌های هواشناسی مربوط است و برآورد خاص خود را دارند (Allen *et al.*, 2003). سنجش از دور این قابلیت را دارد که مقدار تبخیر- تعرق را تخمین بزند و توزیع مکانی و زمانی آن را بررسی کند، زیرا تنها روشی است که می‌تواند پارامترهای معروفی نظری دمای سطحی،

\* نویسنده مسئول: Delgarm.s@Gmail.com

1. Evapotranspiration

## مواد و روش‌ها

### منطقه مطالعه‌شده

ایستگاه مطالعه‌شده در مزرعه دانشگاه شهید باهنر کرمان با عرض جغرافیایی<sup>۱</sup> ۳۰°۱۵' شمالی و طول جغرافیایی<sup>۲</sup> ۵۶°۵۸' شرقی و متوسط ارتفاع ۱۷۵۳/۸ متر از سطح دریا واقع شده است. میانگین بارندگی سالانه منطقه براساس آمار ۴۰ ساله (۱۹۷۴-۲۰۱۳) ایستگاه سینوپتیک کرمان، ۱۶۴/۱ میلی‌متر به دست آمده است. همچنین، میانگین دمای هوا در منطقه ۱۸/۱ درجه سانتی‌گراد، متوسط دما در سردترین ماه برابر ۴/۶ درجه سانتی‌گراد و متوسط دما در گرم‌ترین ماه سال ۳۵/۷ درجه سانتی‌گراد بوده است. این ایستگاه به لایسیمتر وزنی الکترونیکی و دستگاه‌های اندازه‌گیری پارامترهای هواشناسی مجهز است و اطراف آن را زمین‌های کشاورزی و تحت آبیاری دربرگرفته است. شایان ذکر است کشت غالب منطقه مطالعه‌ی، که در قسمت غربی دشت کرمان واقع شده‌اند، پسته است.

### اطلاعات لایسیمتر

در محدوده مطالعه‌شده یک لایسیمتر وزنی الکترونیکی، که نمایی از آن در شکل‌های ۲ و ۳ آمده است، به شعاع ۲ متر و به عمق ۵ متر احداث شده است. این لایسیمتر در مرکز زمینی به مساحت ۴۰۰ متر مربع مقادیر تبخیر- تعرق گندم و گیاه مرجع چمن را اندازه‌گیری می‌کند. داده‌برداری‌های لایسیمتری از تاریخ ۱ مهرماه ۱۳۸۴ آغاز شد و به صورت روزانه تا تاریخ ۲۹ اسفند ۱۳۸۷ ادامه یافت.

### تصاویر ماهواره‌ای

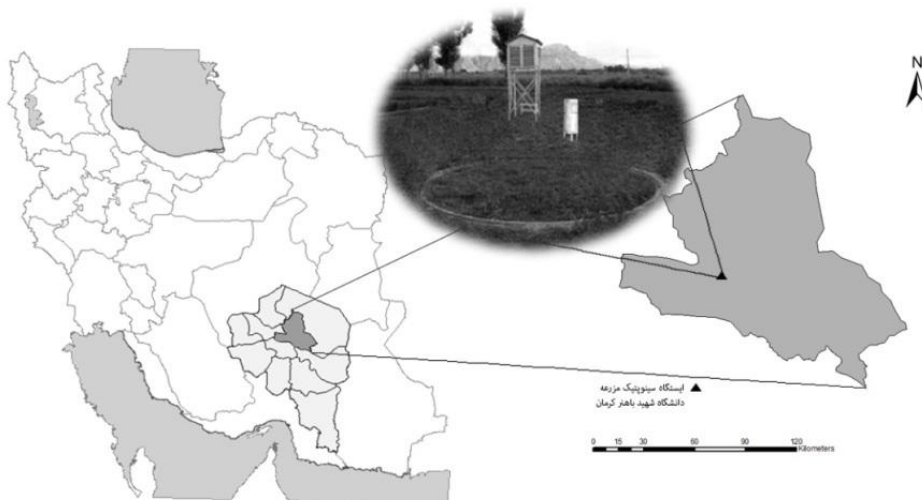
به منظور اجرای این تحقیق، از ۱۵ تصویر ماهواره‌ای Terra MODIS، که از طریق وب‌سایت سازمان ملی هواشنوردی و فضایی آمریکا<sup>۳</sup> تهیه و زمین مرجع شدند، استفاده شد. این تصاویر، به بهار و تابستان ۱۳۸۶ مربوط است و تاریخ و مشخصات تصاویر استفاده‌شده در جدول ۱ آمده است. تصحیحات رادیومتریکی شامل اعمال هیستوگرام‌ها جهت بهبود کنتراست تصاویر و اعمال فیلترها جهت حذف ابرناکی برخی تصاویر فروردین‌ماه انجام شد. پرائنس اتمسفریک نیز با استفاده از تکنیک رفلکس پیکسل سیاه شناسایی و برطرف شد. کلیه عملیات پردازش و تجمعی تصاویر ماهواره‌ای با استفاده از نرم‌افزار ENVI انجام گرفت، سپس فلوچارت مربوط به الگوریتم SEBAL در محیط IDL کدنویسی شد. این دیاگرام در شکل ۴ آمده است.

متعدده در دره رودخانه بیر، Allen *et al.* (2002) با به کار بردن SEBAL به مقایسه نتایج با مقادیر لایسیمتری پرداختند. مقادیر ET<sup>۱</sup> ماهانه ۱۶۴ مدرصد و فصلی ۴۴ مدرصد با مقادیر لایسیمتری تفاوت داشتند. این محققان مقادیر  $K_c^2$  را در طول فصل رشد توسط ETr<sup>۳</sup> و با استفاده از داده‌های زمینی محاسبه کردند. Landsat (2011) Sun *et al.* SEBAL را با استفاده از تصاویر برای برآورد تبخیر- تعرق واقعی به منظور کاربری‌های مختلف و برای حوضه دریاچه نانسی در چین اجرا و نتایج مشتبی را از آن گزارش کردند. نتایج نشان‌دهنده مقادیر پایین خطا RMSE برابر با ۰/۳۸ میلی‌متر در روز برای این مدل بود. همچنین (2013) George *et al.* در مطالعه موردی در یکی از مزارع تکزاس آمریکا مؤلفه آب‌روبدینامیکی مربوط به محاسبه دمای سطحی خاک را در شرایط شفافیت اتمسفری بالا، برای دو پیکسل سرد و گرم در دو نوع پوشش گیاهی با کشت و بافت متفاوت اندازه‌گیری و باهم مقایسه کردند. آن‌ها در ادامه، تبخیر واقعی محاسبه‌شده از سوی الگوریتم سیال را با داده‌های لایسیمتری موجود مقایسه کردند و به RMSE مساوی با ۰/۱۳ و  $R^2$  برابر با ۰/۷۵ دست یافتند. Bagheri *et al.* (2012) با استفاده از داده‌های اندازه‌گیری‌شده لایسیمتری برای ۶ گذر سنجنده MODIS در مزرعه کشاورزی دانشگاه تبریز، دقت مدل را حدود ۰/۸۰ مدرصد در سطح مزرعه کشاورزی برآورد کردند. همچنین، در این تحقیق، مدل SEBAL با سایر مدل‌های سنجش‌از دور مطرح نظری TSEB و METRIC مقایسه و ارزیابی شد و درنهایت مدلی مناسب برای به کارگیری در سطح مزارع کوچک و در سطح مقیاس‌های بزرگ‌تر گزارش شد. همچنین، Mbasherی *et al.* (2005) مقادیر تبخیر- تعرق واقعی را با استفاده از روش سیال و تصاویر مودیس در مزرعه نمونه ارتش، واقع در دشت گرگان، برآورد کردند. آن‌ها با مقایسه نتایج حاصل از تصاویر ماهواره‌ای و مقادیر ارائه‌شده در منابع، بیان کردند که استفاده از تصاویر مودیس و الگوریتم سیال می‌تواند برآورد خوبی از تبخیر- تعرق در مناطق هموار ارائه کند. هدف از تحقیق حاضر، تخمین میزان تبخیر- تعرق واقعی در دشت مورد نظر با استفاده از معادله توازن انرژی به صورت مکانی، مقایسه آن با داده‌های اندازه‌گیری‌شده لایسیمتری، محاسبه ضریب گیاهی، برای پوشش حوضه مربوطه و درنهایت تهیه نقشه توزیع تبخیر- تعرق واقعی در سرتاسر حوضه براساس محاسبات شبکه سلولی است.

1. Evapotranspiration

2. Crop Coefficient

3. Reference Evapotranspiration



شکل ۱. محدوده منطقه مطالعاتی



شکل ۲. نمایی از آتاق کنترل و سنسورهای لایسیمتر

شکل ۳. نمایی از لایسیمتر وزنی الکترونیکی

جدول ۱. تاریخ تصاویر ماهواره‌ای استفاده شده در برآورد تبخیر- تعرق به روش سبال

شماره تصویر (شمسي)	تاریخ تصویربرداری (شمسي)	شماره تصویر	تاریخ تصویربرداری (شمسي)	روز جوليوسي	تاریخ تصویربرداری (شمسي)	روز جوليوسي	تاریخ تصویربرداری (شمسي)	شماره تصویر
۱	۱۳۸۶ فروردین	۹	۱۳۸۶ خرداد	۹۲	۱۳۸۶ خرداد	۱۳۸۶	۱۳۸۶ خرداد	۱
۲	۱۳۸۶ فروردین	۱۰	۱۳۸۶ خرداد	۱۰۴	۱۳۸۶ خرداد	۱۳۸۶	۱۳۸۶ خرداد	۲
۳	۱۳۸۶ اردیبهشت	۱۱	۱۳۸۶ خرداد	۱۱۵	۱۳۸۶ خرداد	۱۳۸۶	۱۳۸۶ خرداد	۳
۴	۱۳۸۶ اردیبهشت	۱۲	۱۳۸۶ خرداد	۱۲۴	۱۳۸۶ خرداد	۱۳۸۶	۱۳۸۶ خرداد	۴
۵	۱۳۸۶ اردیبهشت	۱۳	۱۳۸۶ خرداد	۱۲۷	۱۳۸۶ خرداد	۱۳۸۶	۱۳۸۶ خرداد	۵
۶	۱۳۸۶ خرداد	۱۴	۱۳۸۶ خرداد	۱۴۷	۱۳۸۶ خرداد	۱۳۸۶	۱۳۸۶ خرداد	۶
۷	۱۳۸۶ خرداد	۱۵	۱۳۸۶ خرداد	۱۶۳	۱۳۸۶ خرداد	۱۳۸۶	۱۳۸۶ خرداد	۷
۸	۱۳۸۶ خرداد		۱۳۸۶ خرداد	۱۷۲	۱۳۸۶ خرداد	۱۳۸۶	۱۳۸۶ خرداد	۸

$$\lambda ET = R_n - G - H \quad (رابطه ۱)$$

که در آن،  $ET$ : تبخیر- تعرق ( $\text{mm/day}$ ),  $\lambda$ : گرمای نهان تبخیر ( $\text{W/m}^2$ ),  $R_n$ : معرف شار گرمای نهان ( $\text{W/m}^2$ ),  $G$ : تابش خالص خورشید ( $\text{W/m}^2$ ),  $H$ : شار گرمای محسوس ( $\text{W/m}^2$ ) و  $H$ : شار گرمای خاک ( $\text{W/m}^2$ ) است.

الگوریتم توازن انرژی سطح برای خشکی (SEBAL) مدل سبال، مقدار تبخیر- تعرق واقعی را با استفاده از تصاویر ماهواره‌ای و حداقل داده‌های زمین مورد نیاز و براساس معادله توازن انرژی محاسبه می‌کند. شار تبخیر- تعرق برای هر پیکسل تصویر، بهصورت باقیمانده رابطه توازن انرژی سطح محاسبه

(K) و  $r_{ah}$  مقاومت آبرودینامیکی برای انتقال گرماست (s/m). برای تعیین پیکسل‌های سرد و گرم در انتخاب پیکسل‌های شاخص از دو فاکتور دما و شاخص سطح برگ LAI استفاده شد. بدین صورت که پیکسل سرد باید دمای پایین و LAI بالا و پیکسل گرم هم باید دمای بالا و LAI پایین داشته باشد. در انتخاب پیکسل گرم، از انتخاب مقادیر حداکثر دما اجتناب شد. بدین دلیل که معمولاً بیابان‌ها و مناطق مسکونی دمای بالاتری نسبت به اراضی خشک بایر کشاورزی دارند و بالطبع اگر این مناطق بهمنزله پیکسل گرم انتخاب شوند، برای اراضی خشک با دمای پایین‌تر، تبخیر- تعرق مقداری مثبت می‌شود. در جدول ۲ مشخصات مربوط به پیکسل‌های گرم و سرد انتخابی در این پژوهش آمده است.

جدول ۲. مشخصات پیکسل‌های گرم و سرد منتخب در این تحقیق

پیکسل گرم	پیکسل سرد	طول جغرافیایی
E	E	عرض جغرافیایی
۳۰°۲۴'۴,۷۱"N	۳۰°۲۴'۹,۵۶"N	دما سطح خاک
۳۲۵	۲۹۰	شاخص سطح برگ
۰,۲۱۴۷۸۱	۱,۵۴۲۳	

پس از آنکه مقدار شار گرمای محسوس براساس شرایط جوی تصحیح شد، مقدار لحظه‌ای شار گرمای نهان تبخیر مطابق با رابطه ۱ برای هر پیکسل محاسبه و سپس با استفاده از رابطه ۵ مقدار لحظه‌ای تبخیر- تعرق واقعی برآورد شد.

$$ET_{inst} = 3600 \times \frac{\lambda ET}{\lambda} \quad (رابطه ۵)$$

تبخیر- تعرق لحظه‌ای  $ET_{inst}$  بخار آب یا میزان گرمای جذب شده هنگامی که یک کیلوگرم آب بخار می‌شود (J/kg) و عدد ۳۶۰۰ برای تبدیل زمان ثانیه به ساعت است. در شکل ۴، فلوچارت مراحل الگوریتم سبال با دقت درخور توجهی آورده شده است.

#### صحت‌سنجی

برای برآورد تبخیر- تعرق روزانه از تبخیر- تعرق لحظه‌ای، می‌توان از مفهوم تبخیر- تعرق گیاه مرجع استفاده کرد. به این منظور، تبخیر- تعرق گیاه مرجع در مقیاس ساعتی در لحظه گذر ماهواره ( $ET_{inst}$ ) و همچنین میزان آن در مقیاس روزانه ( $ET_{24}$ ) برای ایستگاه هواشناسی معرف منطقه محاسبه شد.

#### تابش خالص

مقدار تابش خالص از توازن چهار شار تابشی در سطح زمین به دست می‌آید که عبارت‌اند از تابش طول موج کوتاه ورودی ( $R_{s\downarrow}$ ) که بخشی از این انرژی تابشی توسط سطوح مختلف منعکس می‌شود. ( $R_{L\downarrow}$ ) تابش طول بلند ورودی از اتمسفر ( $R_{s\uparrow}$ ) و تابش طول موج بلند گسیل شده از سطح ( $R_{L\uparrow}$ ). بنابراین، تابش خالص لحظه‌ای در واحد سطح با استفاده از رابطه ۲ به دست می‌آید.

$$R_n = (1 - \alpha) R_{s\downarrow} + R_{L\downarrow} - (1 - \epsilon_0) R_{L\uparrow} \quad (رابطه ۲)$$

که در آن  $\alpha$  آلبیدوی سطحی،  $R_{s\downarrow}$  تابش موج کوتاه ورودی (۰,۳ تا ۳ میکرومتر) ( $W/m^2$ )،  $R_{L\downarrow}$  تابش موج بلند ورودی (۳ تا ۱۰۰ میکرومتر) ( $W/m^2$ ) و  $\epsilon_0$  گسیل‌مندی سطحی عریض باند است. به دلیل محدودبودن صفحات مقاله، تشریح کامل طریقه محاسبات تابش خالص خورشیدی در فلوچارت شکل ۴ آمده است.

#### شار گرمای خاک (G)

در روش سبال، ابتدا نسبت  $G/R_n$  در نیمه‌روز، با استفاده از معادله تجربی ارائه شده از سوی باستیانس (۲۰۰۰)، به صورت رابطه ۳ محاسبه می‌شود.

$$(رابطه ۳)$$

$$\frac{G}{R_n} = \frac{T_s}{\alpha} \times [0.0032 \times \alpha + 0.0062 \times \alpha^2] \times [1 - 0.978 \times NDVI^4] \quad (رابطه ۴)$$

که در آن،  $T_s$  دما سطحی ( $^{\circ}C$ ) و  $\alpha$  آلبیدوی سطحی و  $NDVI$  شاخص تفاضل نرمال‌شده پوشش گیاهی که در ادامه نحوه محاسبه آن بیان شده است. و درنهایت، مقدار G با ضرب کردن نسبت فوق در  $R_n$  به دست می‌آید.

#### شار گرمای محسوس (H)

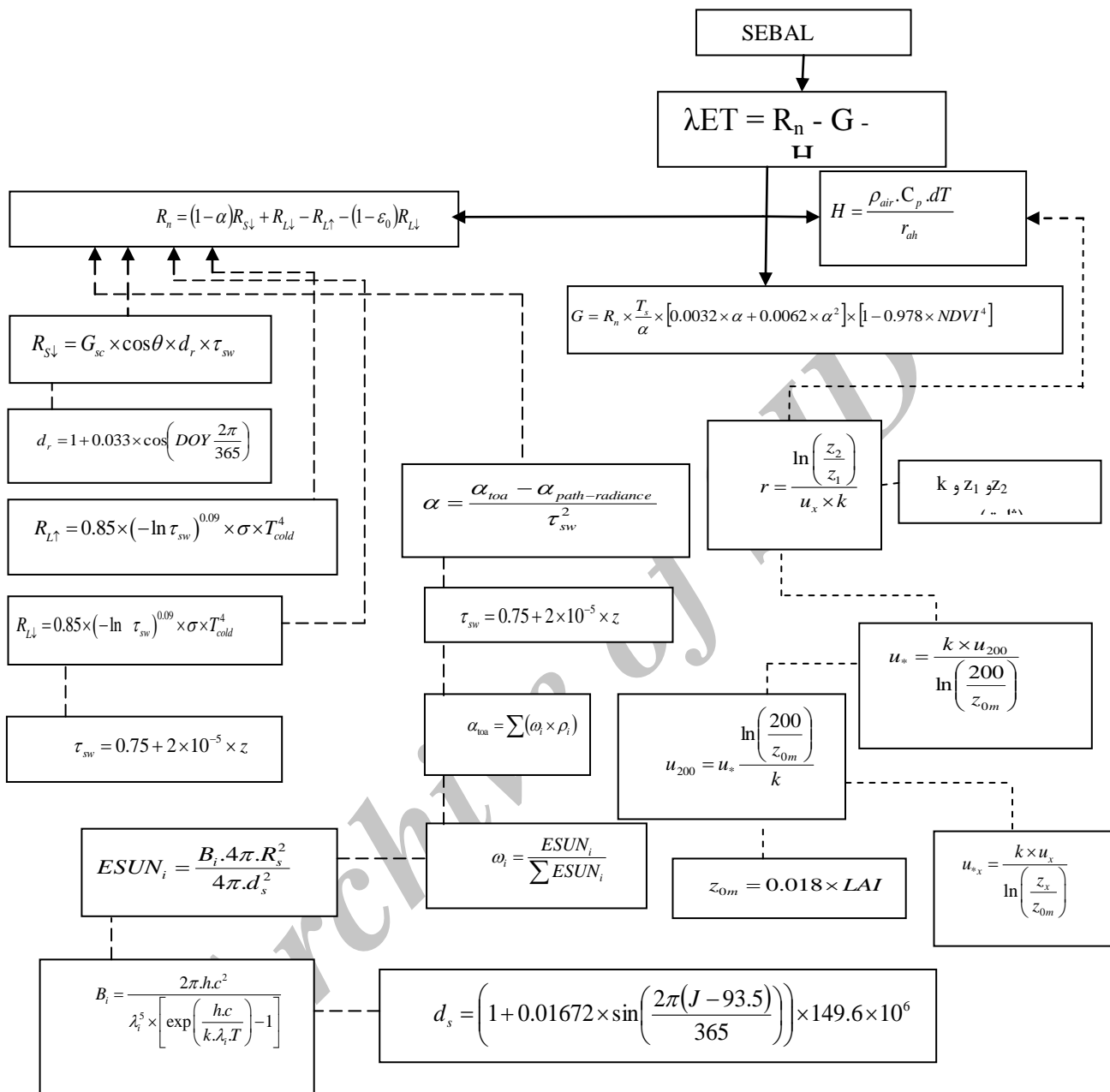
در روش سبال برای برآورد شار گرمای محسوس، ابتدا دو پیکسل آستانه انتخاب می‌شوند. یکی از این پیکسل‌ها، که پیکسل سرد نامیده می‌شود، مربوط به منطقه‌ای کامل پوشیده از گیاه و آبیاری شده است. دما سطح زمین در این پیکسل نزدیک به دماه هواست و تبخیر- تعرقی معادل تبخیر- تعرق مرجع دارد. پیکسل دوم، که پیکسل گرم نام دارد، زمین کشاورزی بدون پوشش گیاهی و خشک است. بنابراین، مقدار شار گرمای نهان تبخیر باید از روش‌های تکراری حل شود و گرما محسوس است.

$$(رابطه ۴)$$

$$H = \frac{\rho_{air} \cdot C_p \cdot dT}{r_{ah}} \quad (رابطه ۵)$$

که در آن  $\rho_{air}$  چگالی هوا ( $kg/m^3$ ),  $C_p$  گرمای ویرثه هوا ( $J/kg/K$ ),  $dT$  اختلاف دمای بین دو ارتفاع

### فلوچارت مربوط به الگوریتم SEBAL



شکل ۴. فلوچارت کلی محاسبه مدل سبال و محاسبه  $\text{rah}$  (مقاموت آبرودینامیکی)

بهمنظور ارزیابی مقادیر تبخیر- تعرق محاسباتی بهدست آمده به وسیله الگوریتم SEBAL و مقایسه با مقادیر مشاهداتی (لایسیمتر)، از دو آزمون نکوبی برآش NOF<sup>۱</sup> و EF<sup>۲</sup> استفاده شد که مقادیر آنها به ترتیب با استفاده از معادله‌های ۷ و ۸ محاسبه می‌شود.

$$NOF = \frac{1}{\bar{ET}_{obs}} \sqrt{\frac{1}{n} \sum_{i=1}^n (ET_{obs,i} - ET_{sim,i})^2} \quad (\text{رابطه ۷})$$

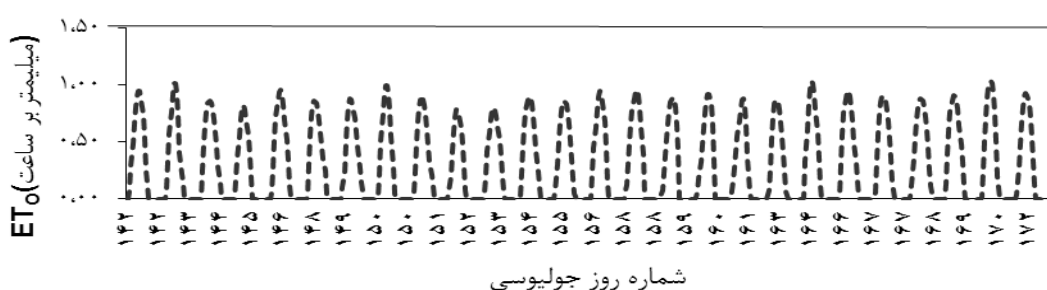
1. Normalized Objective Function  
2. Modeling Efficiency

سپس نسبت تبخیر- تعرق لحظه‌ای محاسبه شده از مدل سبال به تبخیر- تعرق گیاه مرجع در مقیاس ساعتی در لحظه گذر ماهواره تعیین و حاصل ضرب این نسبت در تبخیر- تعرق روزانه گیاه مرجع، میزان تبخیر- تعرق واقعی روزانه (ETact<sub>-24</sub>) بدست آمد. برای محاسبه‌های تبخیر- تعرق گیاه مرجع در مقیاس زمانی روزانه از روش پنمن- مانتیث گزارش شماره ۵۶ فائق استفاده شد که در رابطه ۶ به آن اشاره شده است.

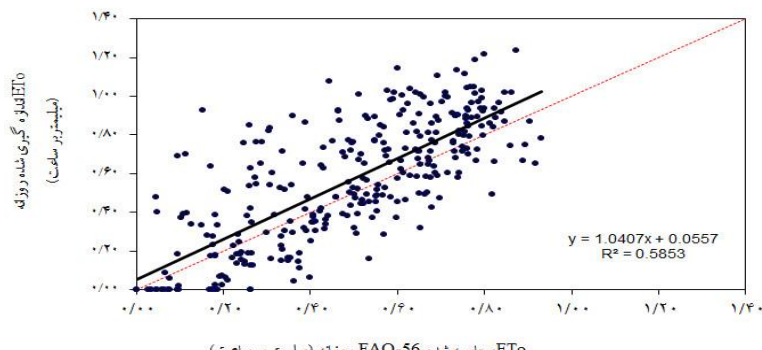
$$ET_{act-24} = ET_{r-24} \frac{ET_{inst}}{ET_{r-inst}} \quad (\text{رابطه ۶})$$

۱۷۲ جولیوسی) ۰/۵۴ میلی‌متر تخمین زده شد. در شکل ۶، برای نمونه، مقایسه نتایج تبخیر- تعرق حاصل از لایسیمتر منطقه و روش فائز ۵۶ در تیر ۱۳۸۶ آورده شده است. همان‌طور که مشاهده می‌شود، بین نتایج، همبستگی قابل قبولی با ضریب  $R^2$  برابر با ۰/۵۸ برقرار است. این مقایسه برای دیگر ماههای گرم سال ۱۳۸۶ نیز صورت گرفت و نشان از دقت قابل قبول داده‌های لایسیمتری در منطقه داشت.

مدل‌سازی برای ۱۵ تصویر منتخب به‌طور یکسان و با روابط مشابه اعمال شد، اما به دلیل حجم بالای خروجی‌ها، نتایج مربوط به تصویر روز ۳۱ خرداد ۱۳۸۶ ارائه شده است. برای محاسبه ضریب  $L$  (فاکتور تصحیح اثر بازتابندگی خاک) تصاویر با قدرت تفکیک مکانی ۱۰۰۰ متر انتخاب شد. پیکسل‌های سرد و گرم براساس در اختیار داشتن زمین‌های با پوشش گیاهی مناسب و بایر، با در نظر گرفتن حداقل و حداقل رطوبت موجود، انتخاب شدند. نتایج نشان می‌دهد که توزیع شاخص DNVI در محدوده ۰/۰۱ تا ۰/۴۹ در حال تغییر است. مقادیر دمای سطح زمین نیز از ۲۹۰ تا ۳۲۵ درجه کلوین در نوسان بودند. پایین‌بودن مقادیر شاخص NDVI و همچنین بالابودن دمای سطح زمین به ضعیف‌بودن پوشش گیاهی منطقه مربوط می‌شود. بنابراین، نتایج به دست آمده در این قسمت با واقعیت‌های موجود در منطقه مطالعاتی هم خوانی قابل قبولی دارد. شکل‌های ۷ و ۸ به ترتیب توزیع پراکندگی شاخص NDVI و دمای سطح زمین (LST) را در تاریخ ۳۱ خرداد ۱۳۸۶ نشان می‌دهد.



شکل ۵. تبخیر- تعرق واقعی محاسبه شده به‌وسیله لایسیمتر در مقیاس ساعتی در خرداد ۱۳۸۶



شکل ۶. مقایسه تبخیر- تعرق روزانه حاصل از داده‌های لایسیمتر و روش FAO-56 در تیر ۱۳۸۶

$$EF = 1 - \frac{\sum_{i=1}^n (ET_{obs,i} - ET_{sim,i})^2}{\sum_{i=1}^n (ET_{obs,i} - \bar{ET}_{obs})^2} \quad (رابطه ۸)$$

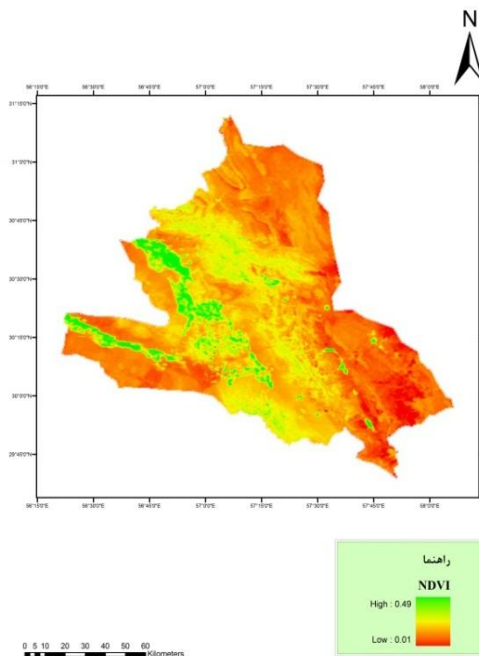
در این معادله‌ها،  $ET_{obs,i}$  تبخیر- تعرق مشاهداتی،  $ET_{sim,i}$  تبخیر- تعرق محاسباتی،  $\bar{ET}_{obs}$  میانگین تبخیر- تعرق مشاهداتی و  $n$  تعداد داده‌های مشاهداتی یا محاسباتی است. شایان ذکر است در صورتی که مقادیر NOF و EF به ترتیب صفر و یک باشد، تبخیر- تعرق مشاهداتی و محاسباتی باهم برابرند. در جدول ۳، مقادیر محاسباتی و مشاهداتی تبخیر- تعرق در روزهای مربوطه انتخابی نشان داده شده است.

## نتایج و بحث

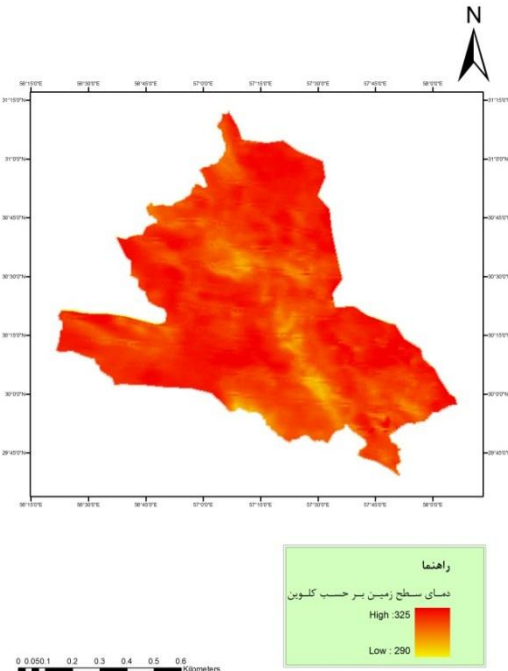
محاسبات و اندازه‌گیری‌های مربوط به لایسیمتر اندازه‌گیری‌ها در شش ماه گرم سال به شکل روزانه و ساعتی انجام گرفت، ولی به دلیل محدودیت‌های صفحات مقاله برای مثال در شکل ۵ سری زمانی تبخیر- تعرق واقعی گیاه چمن در مقیاس روزانه در خرداد ۱۳۸۶ آورده شده است. همان‌طور که در شکل ۵ مشاهده می‌شود، سینوسی بودن نمودار، تغییرات شبانه‌روزی داده‌های لایسیمتری را به خوبی نشان می‌دهد. بیشترین مقادیر تبخیر- تعرق مرتع در مقیاس ساعتی ۱/۱ میلی‌متر در ظهر روز ۲۹ خرداد و کمترین مقدار آن ۰/۸۳ میلی‌متر در ظهر روز ۱۱ خرداد ۱۳۸۶ برآورد شده است. همچنین، میزان مجموع تبخیر- تعرق واقعی در روز ۳۱ خرداد

مقابل در روز جولیوسی ۹۲، یعنی ۱۳ فروردین ۱۳۸۶، به کمترین مقدار خود، یعنی ۳/۸۵ میلی‌متر در روز، رسیده است. علت کاهش تبخیر- تعرق در اوایل فروردین مربوط به عدم رویش کامل گیاهان و درنتیجه کاهش شاخص پوشش گیاهی و همچنین سردی هواست. عامل گرمی هوا در تیرماه نیز باعث افزایش تبخیر- تعرق شده است. شایان ذکر است مقادیر مشاهداتی محاسبه شده لایسیمتر در مقابل مقادیر تبخیر- تعرق مرجع محاسبه شده از سوی روش پنمن مانتیت ۵۶ FAO<sup>۱</sup> مقاداری تفاوت دارد که این اختلاف به ضریب خرد اقلیم ( $K_{mc}$ ) برای تنظیم ET، ضریب پوشش گیاهی ( $K_r$ ) و ضریب تراکم ( $K_d$ ) برای تنظیم تبخیر- تعرق و تراکم بوته مرتبط است.

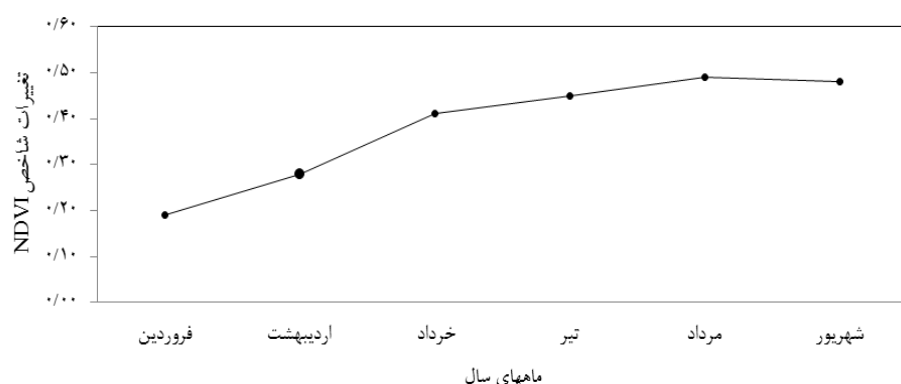
در طی اجرای مراحل، مقدار شاخص تفاضل نرمال شده گیاهی (NDVI) نیز با استفاده از تصاویر ماهواره‌ای محاسبه شد. به این صورت که این شاخص برای روزهای تصویربرداری (در هر ماه سه نوبت) در کل منطقه مطالعاتی محاسبه و پس از میانگیری به منزله نماینده ماه مورد نظر معرفی شده است. روند تغییرات آن طی این دوره در شکل ۹ ارائه شده است. همان‌طور که ملاحظه می‌شود، مقدار این شاخص طی دوره رشد با افزایش پوشش گیاهی سبز افزایش می‌یابد و مقدار آن در مرداد ۱۳۸۶، که گیاه (پسته) به بیشترین رشد خود رسیده، حداقل است. همان‌طور که در جدول ۳ مشخص است، مقدار تبخیر- تعرق در روز جولیوسی ۱۹۱، که مربوط به ۱۹ تیر ۱۳۸۶ است، به بیشترین مقدار خود، یعنی ۸/۸۲ میلی‌متر در روز، رسیده و در



شکل ۸. نقشه LST در ۳۱ خرداد ۱۳۸۶



شکل ۷. نقشه شاخص NDVI در ۳۱ خرداد ۱۳۸۶



شکل ۹. نمودار مقادیر شاخص تفاضل نرمال شده گیاهی در منطقه در شش ماه گرم سال ۱۳۸۶

## برآورد تبخیر- تعرق روزانه

جدول ۳. نتایج تبخیر- تعرق واقعی حاصل از مدل SEBAL، لایسیمتر و روش ۵۶ FAO

	روز جولیوسی	لایسیمتر (میلی متر بر روز)	SEBAL (میلی متر بر روز)	FAO 56 (میلی متر بر روز)
۹۲	۲,۸۵	۳,۷۷	۳,۸۱	
۱۰۴	۵,۴۲	۵,۶۵	۶,۰۷	
۱۱۵	۵,۳۷	۶,۰۳	۵,۸۴	
۱۲۴	۶,۵۹	۷,۲۱	۵,۹۳	
۱۲۷	۶,۵۸	۵,۸۳	۶,۷۶	
۱۴۷	۷,۷۲	۶,۹۱	۵,۹۸	
۱۶۳	۶,۸۳	۷,۴۱	۶,۷۵	
۱۷۲	۷,۵۴	۷,۲۵	۶,۵۵	
۱۷۹	۸,۱۴	۷,۶۱	۷,۳۸	
۱۹۱	۸,۸۲	۷,۹۲	۷,۲۲	
۱۹۸	۷,۹۶	۸,۵۰	۷,۸۷	
۲۰۴	۶,۷۳	۷,۵۲	۶,۱۴	
۲۲۰	۶,۷۱	۵,۷۴	۶,۳۴	
۲۲۳	۷,۲۳	۶,۷۶	۶,۳۲	
۲۳۶	۷,۶۴	۷,۳۲	۶,۶۸	

جدول ۴. نتایج مقایسه تبخیر- تعرق واقعی حاصل از الگوریتم SEBAL با L های متفاوت در مقابل لایسیمتر

تاریخ دریافت تصویر MODIS	لایسیمتر mm/day	SEBAL						
		L=۰	L=۰,۲	L=۰,۴	L=۰,۵	L=۰,۶	L=۰,۸	L=۱
۲,۴,۲۰۰۷	۳,۸۵	۳,۴۷	۳,۵۲	۳,۵	۳,۶۲	۳,۶۸	۳,۷۱	۳,۷۷
۱۴,۴,۲۰۰۷	۵,۴۲	۵,۴۷	۵,۴۸	۵,۵۱	۵,۵۳	۵,۵۸	۵,۶	۵,۶۵
۲۵,۴,۲۰۰۷	۵,۳۷	۵,۸۷	۵,۹	۵,۹۱	۵,۹۴	۵,۹۶	۵,۹۷	۶,۰۳
۴,۵,۲۰۰۷	۶,۵۹	۶,۹۱	۶,۹۵	۷,۱۲	۷,۱۵	۷,۱۷	۷,۲۳	۷,۲۱
۷,۵,۲۰۰۷	۶,۵۸	۵,۶۹	۵,۷۱	۵,۷۳	۵,۷۵	۵,۷۸	۵,۷۹	۵,۸۳
۲۷,۵,۲۰۰۷	۷,۷۲	۶,۷۷	۶,۷۹	۶,۸۲	۶,۸۵	۶,۸۷	۶,۸۹	۶,۹۱
۱۲,۶,۲۰۰۷	۶,۸۳	۷,۲۸	۷,۳۱	۷,۳۴	۷,۳۶	۷,۳۷	۷,۳۹	۷,۴۱
۲۱,۶,۲۰۰۷	۷,۵۴	۷,۱۴	۷,۱۷	۷,۱۹	۷,۲	۷,۲۲	۷,۲۳	۷,۲۵
۲۸,۶,۲۰۰۷	۸,۱۴	۷,۴۷	۷,۵	۷,۵۳	۷,۵۶	۷,۵۷	۷,۵۹	۷,۶۱
۱۰,۷,۲۰۰۷	۸,۸۲	۷,۷۸	۷,۸۱	۷,۸۴	۷,۸۷	۷,۹	۷,۹۱	۷,۹۲
۱۷,۷,۲۰۰۷	۷,۹۶	۸,۳۵	۸,۳۷	۸,۴۱	۸,۴۳	۸,۴۶	۸,۴۸	۸,۵۰
۲۲,۷,۲۰۰۷	۶,۷۳	۷,۴	۷,۴۲	۷,۴۴	۷,۴۷	۷,۴۹	۷,۵	۷,۵۲
۸,۸,۲۰۰۷	۶,۷۱	۵,۵۷	۵,۶۲	۵,۶۵	۵,۶۸	۵,۷۱	۵,۷۲	۵,۷۴
۱۱,۸,۲۰۰۷	۷,۲۳	۶,۶۱	۶,۶۵	۶,۶۸	۶,۷	۶,۷۳	۶,۷۵	۶,۷۶
۲۴,۸,۲۰۰۷	۷,۶۴	۷,۱۴	۷,۱۸	۷,۲۲	۷,۲۵	۷,۲۹	۷,۳۱	۷,۳۲
	NOF	۰,۰۹۶۷۲	۰,۰۹۴۵۱	۰,۰۹۳۸۱	۰,۰۹۲۵۳	۰,۰۹۱۰۷	۰,۰۹۱	۰,۰۹۰۷۹
	EF	۰,۸۵۹۶۷	۰,۸۶۰۰۱	۰,۸۶۷۹۹	۰,۸۷۱۵۷	۰,۸۷۵۶	۰,۸۷۵۷۹	۰,۸۷۶۳۶
	RMSE	۰,۶۶۴۹۹	۰,۶۴۹۸۰	۰,۶۴۴۹۹	۰,۶۳۶۱۸	۰,۶۲۶۱۱	۰,۶۲۵۶۳	۰,۶۲۴۱۹

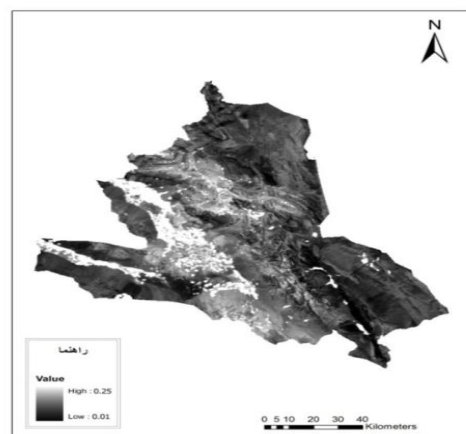
مشاهداتی و محاسباتی است، در L مساوی با یک کمترین مقدار EF ۰,۰۹۰۷۹ را به خود اختصاص داده است. شاخص EF نیز، که در عدد یک نشان دهنده منطبق بودن داده های محاسباتی و میدانی بر روی هم است، در L برابر با یک بیشترین مقدار ۰,۸۷۶۳۶ را دارد که این عدد نمایانگر همبستگی بالای داده های محاسباتی حاصل از الگوریتم سبال و داده های میدانی حاصل از Lایسیمتر منطقه است. همچنین، آمار درج شده در جدول ۴ بیانگر این است که با زیاد شدن L شاخص SAVI، که در شکل ۱۰ آمده است، کاهش می یابد؛ به نحوی که در L های بزرگ و در

همان طور که در جدول ۴ مشخص است، هرچه مقدار L به سمت یک نزدیک تر می شود، انحراف معیار کمتر و نتایج دقیق تر است. بدین معنا که در L های کوچک تر، تأثیرات خاک و پوشش گیاهی متفاوت، خود را بیشتر نشان می دهد. درنتیجه، با توجه به اقلیم نیمه خشک و سرد منطقه، مقادیر بهینه L در حد یک برآورد شد. مقدار کمترین RMSE برای L برابر با یک به میزان ۰,۶۲۴۱۹ و بیشترین آن به میزان ۰,۶۶۴۹۹ برای L برابر با صفر بوده است. همچنین، براساس آمار جدول ۴، شاخص NOF که نزدیک بودن آن به صفر بیانگر همبستگی بالای بین داده های www.SID.ir

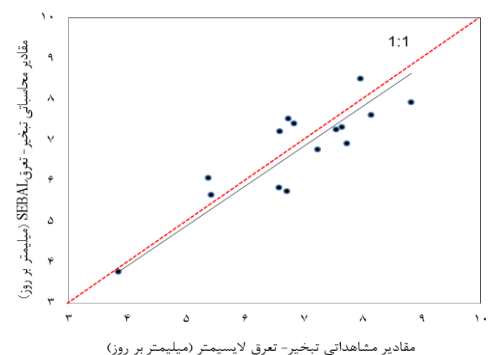
رونده تغییرات تبخیر- تعرق در روزهای منتخب تصویربرداری به دو روش محاسباتی سبال و لایسیمتر در شکل ۱۲ نشان داده شده است. نوآوری این پژوهش این بود که عملیات مربوط به شناسایی پیکسل مربوط به مختصات لایسیمتر در نرمافزار ENVI انجام شد و تبخیر- تعرق این پیکسل براساس کاربری منطقه در سال ۱۳۸۶ با احتساب درصد زمین‌های بایر، آسفالت و گونه‌های گیاهی دیگر محاسبه شد. این کاربری در شکل ۱۳ نشان داده شده است. با توجه به مساحت تحت پوشش گیاهی و غیرگیاهی هر کاربری در این پیکسل،  $500 \times 500$  متر تبخیر- تعرق واقعی با ابزار کراسینگ و درون‌یابی کریجینگ تعیین شد. همان‌طور که در شکل ۱۲ مشاهده می‌شود، محاسبات مربوط به پیکسل سبال برآورده نزدیک‌تر به محاسبات لایسیمتری داشته است.

درنهایت، خروجی اصلی مدل سبال، یعنی نقشه تبخیر- تعرق واقعی دشت کرمان، ترسیم شد. شکل ۱۴ نقشه پهن‌بندی تبخیر- تعرق واقعی دشت کرمان در روز ۳۱ خرداد ۱۳۸۶ است. همان‌طور که مشخص است، تبخیر- تعرق واقعی در چهار کاربری بیابان، شهری، کشاورزی و کوهستان در محدوده صفر تا  $8/51$  میلی‌متر بر روز قرار گرفته است. در این شکل، به‌طور واضح، دیده می‌شود که مدل سبال در محیط‌های کوهستانی دچار خطای نسبتاً زیادی نشده است و در سایه‌ها و مناطق شیبدار با توجه به ورودی‌هایی همچون نقشه‌های کاربری اراضی، شیب و اسپیکت تبخیر- تعرق را به‌طور تقریباً صحیحی برآورد کرده است. بیشترین تبخیر- تعرق متعلق به زمین‌های کشاورزی واقع در غرب و جنوب غربی شهرستان است و کمترین تبخیر به مناطق کویری و پست منطقه شهداد مربوط می‌شود.

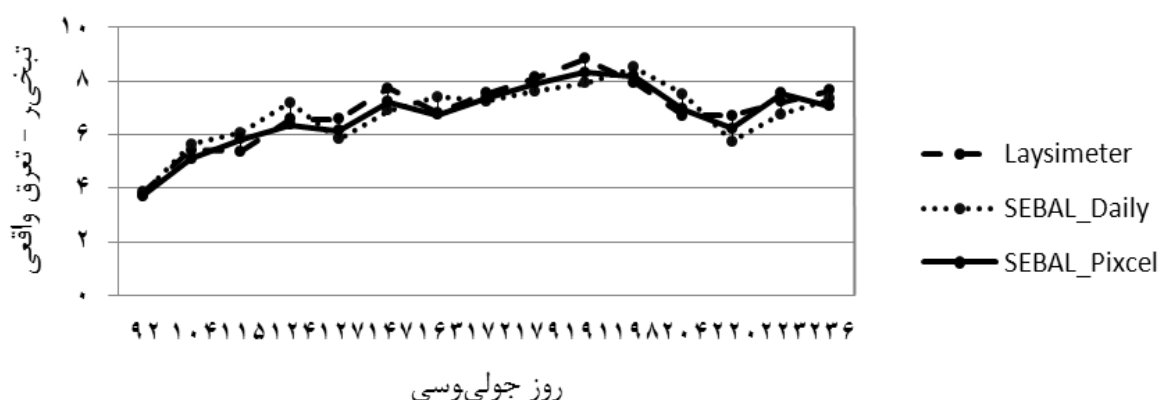
خاک‌های تیره یا پوشش‌های گیاهی بسیار اندک، LAI منفی می‌شود، که در محاسبات صفر منظور می‌شود. نتایج حاصل از الگوریتم سبال، مقادیر تبخیر- تعرق پتانسیل برآورده از روش سبال با مقادیر محاسبه شده بهوسیله لایسیمتر منطقه در روزهای تصویربرداری مقایسه شد. همان‌طور که در شکل ۱۱ مشاهده می‌شود، مقدار ضریب همبستگی  $0/71$  نشان‌دهنده دقیق قابل قبول روش سبال در برآورد تبخیر- تعرق است.



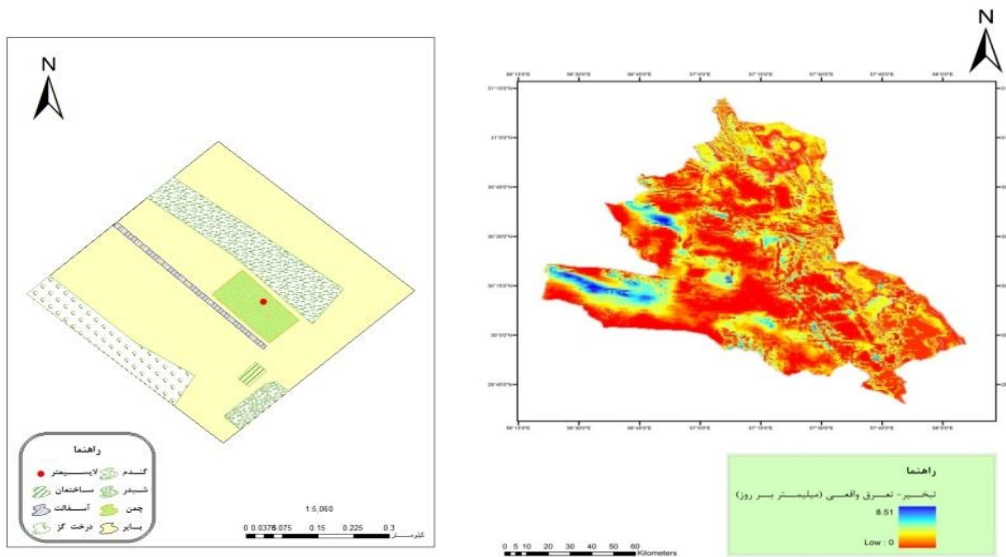
شکل ۱۰. نقشه درصد پوشش گیاهی تهیه شده براساس شاخص SAVI



شکل ۱۱. مقایسه مقادیر تبخیر- تعرق به دست آمده از دو روش سبال و لایسیمتر



شکل ۱۲. روند تغییرات تبخیر- تعرق در روزهای منتخب تصویربرداری به دو روش محاسباتی سبال و لایسیمتر و همچنین تفکیک پیکسل مربوط به لایسیمتر



شکل ۱۴. نقشه تبخیر- تعرق واقعی دشت کرمان در روز ۳۱ خرداد ۱۳۸۶

سبال انتخاب پیکسل سرد و گرم از حساسیت بالایی برخوردار است و نتایج نشان داد که انتخاب اشتباه این پیکسل‌ها مراحل بعدی الگوریتم را به شدت تحت تأثیر خود قرار می‌دهد. بنابراین، برای مشخص کردن این دو پیکسل باید اطلاعات دقیقی از منطقه داشت. در پایان، نقشه پهنه‌بندی تبخیر- تعرق منطقه براساس کاربری‌های مورد نظر ترسیم شد. این نقشه وسیع امکان مدیریت مکانی آب، صرفه‌جویی و تخصیص بهینه آب را امکان‌پذیر می‌کند. همچنین، پیشنهادهایی درخصوص انجام‌دادن پژوهش‌های آتی در این زمینه ارائه می‌شود.

- امکاناتی همچون برج‌های اندازه‌گیری شارهای سطحی، به منظور ارزیابی روش‌های موجود برآورد تبخیر- تعرق واقعی مبتنی بر تکیک سنجش از دور در منطقه ایجاد شود؛
- روش SEBAL از مبنای فیزیکی مطلوبی برخوردار است، اما وجود برخی روابط تجریبی در طول مراحل برآورد تبخیر- تعرق سبب می‌شود در محاسبات، به خصوص در تعیین نیاز آبی گیاه، خطاهایی به وجود آید. بنابراین توصیه می‌شود ضرایب این روابط برای هر منطقه تصحیح شود؛
- از الگوریتم‌های دومنبعدی استفاده شود که علاوه بر اطلاعات هواشناسی و ماهواره‌ای به اطلاعاتی از قبیل بافت، ساختمان و رطوبت خاک نیز نیازمندند که با کسب این اطلاعات می‌توان برآورده بسیار دقیق از تبخیر- تعرق منطقه ارائه کرد.

## REFERENCES

- Allen ,R. G., Morse, A. and Tasumi, A. (2003). Application of SEBAL for Western US water rights regulation and planning. *ICID Workshop on Remote Sensing of ET for Large Regions*, 17 sept.

در این پژوهش، با به کار گیری الگوریتم SEBAL و با استفاده از تصاویر سنجنده MODIS برای ۱۵ تصویر منتخب بدون ابر مربوط به بهار و تابستان ۱۳۸۶ تبخیر- تعرق واقعی بهصورت روزانه محاسبه و با داده‌های مشاهداتی حاصل از لایسیمتر وزنی الکترونیکی، که در منطقه در اختیار بود، مقایسه شد. ضریب تبیین ۰/۷۱، بین داده‌های مشاهداتی و محاسباتی نشان داد که این الگوریتم در برآورد تبخیر- تعرق واقعی دقت بالایی دارد. در این مطالعه، RMSE برابر با ۰،۶۲۴۱۹ NOF برابر با ۰،۰۹۰۷۹ و EF برابر با ۰/۸۷۶۳۶ به دست آمد. نتایج این بخش با نتایج حاصل از تحقیق George *et al* (2013)، که مقدادر تبخیر- تعرق واقعی حاصل از الگوریتم را در مقایسه با مقدادر لایسیمتری ارزیابی کرده بودند، مطابقت دارد. همچنین میزان شاخص NDVI محاسبه شده از روش سنجش از دور، که بیانگر پوشش سبز منطقه است، مطابقت خوبی با روند توسعه یا کاهش سطح زیر کشت داشته است و نتایج تبخیر- تعرق نیز نشان از هماهنگی آن با نتایج پوشش گیاهی داشت؛ بهنحوی که بیشترین میزان تبخیر تعرق مربوط به اواسط تابستان و کمترین آن مربوط به اوایل بهار بوده است. در مناطق کویری و دشت شهداد، مدل دچار خطای نسبی شده است که دلیل آن را می‌توان به بافت خاک و ضریب آلبدیوی بالای این مناطق نسبت داد. در اجرای مراحل الگوریتم

- Implementation. Advanced Training and Users Manual., version 1.
- Bagheri harooni, M., Arshad, S., Majnoni, A. and Morid, S. (2012). Compare single-source remote sensing model for estimating actual evapotranspiration and two sources of energy flux in plain Tabriz. *Journal Remote Sensing and GIS Iran.* 4(1), 252-273
- Bastiaanssen, W. G. M. Menenti, M. (2002). satellite surveillance of evaporative depletion across the Indus basin, *Water Resource Res.* 38 (12):1273.
- Bastiaanssen, W. G. M., Menenti, M. (1989). Mapping groundwater losses in the Western Desert of Egypt with satellite measurements of surface reflectance and surface temperature.in (ed.) J.C. Hooghart. *Water Management and Remote Sensing. TNO Committee on hydrological Research proceedings and information no.* 42(1), 61-89.
- Farshi, A., Kheyrai, J., Syadat, H., Mirlatifi, M., Darbandi, S., Salamat, A., Entesari, M., and Sadatmiri, N. (2011). Evaluate the efficiency of irrigation water during the past decades in the country. *On-farm water management.*
- George, P., and Prasanna, H. (2013). Lysimetric evaluation of SEBAL using high resolutionairborne imagery from BEAREX08. *Advances in Water Resources.* 59 (2),157–168.
- Sanayinezhad, H., Nori, S., and Hashemineya, M. (2011). Estimation of actual evapotranspiration using satellite images in Mashhad. *Journal of Water and Soil, Agricultural Science and Technology,* 25 (3), 540- 547.
- Mobasher, M., Khavariyan, H., Ziyaian, P. and Kamali, Gh. (2005). Estimates of actual evapotranspiration using MODIS images and algorithms SEBAL. *National mapping agency, Tehran*
- Sun, Z., Wei, B., Su, W., Shen, W., Wang, C., You, D., and Liu Z. (2011). Evapotranspiration estimation based on the SEBAL model in the Nansi Lake Wetland of China. *Mathematical and Computer Modeling in agriculture.* 59(4),1086–1092.